

تأثیر فاصله‌ی زمانی بیشینه‌ی پاسخ مؤلفه‌های افقی و قائم زمین در رفتار لرزه‌ی ساختمان‌های بتن آرمه

علیرضا مرتضایی*

سید محمد حسینی کرد خلی (کارشناس ارشد)

دانشکده‌ی هندسی عمران، واحد سمنان، دانشگاه آزاد اسلامی

در نوشتار حاضر، تأثیر فاصله‌ی زمانی بیشینه‌ی پاسخ مؤلفه‌های افقی و قائم زمین لرزه در رفتار لرزه‌ی ساختمان‌های بتن آرمه ارزیابی شده است. از این‌رو، ساختمان‌های منظر بتن آرمه با تعداد طبقات ۷، ۱۰، ۱۳، ۱۶ و ۲۰ با سیستم قاب خمشی به کمک نرم‌افزار OpenSees غیرخطی شدن و تأثیر مشخصه‌ی مذکور در نیروی محوری ستون‌ها، تغییر مکان جانبی، برش پایه، زمان تناوب افقی، ترتیب والگوی شکل‌گیری مفاصل خمیری بحث و بررسی شد. نتایج نشان دادند که فاصله‌ی زمانی بیشینه‌ی پاسخ مؤلفه‌ی قائم و افقی زلزله، تأثیر قابل ملاحظه‌ی در نیروی محوری ستون‌ها دارد و این تأثیر در ستون‌های داخلی بیشتر از بقیه‌ی ستون‌هاست و می‌توان بیان کرد که تأثیر فاصله‌ی زمانی در ساختمان‌های کوتاه مرتبه بیشتر از ساختمان‌های میان‌مرتبه و بلندمرتبه است؛ به گونه‌ی که در ساختمان ۴ طبقه، مقدار افزایش ۴۳٪ به مقدار ۲۸٪ در ساختمان ۲۰ طبقه کاهش می‌یابد. تأثیر مؤلفه‌ی قائم زمین لرزه در تعییرات بارمحوری با افزایش فاصله‌ی زمانی میل به کاهش دارد، اما در تعییر مکان جانبی و برش طبقات ناچیز است.

واژگان کلیدی: مؤلفه‌ی قائم زمین لرزه، فاصله‌ی زمانی، نیروی محوری ستون، ساختمان بتن آرمه.

a.mortezaei@semnaniau.ac.ir
hosseini.kordkheyli@yahoo.com

۱. مقدمه

زلزله به عنوان پدیده‌ی مخرب در اغلب مناطق دنیا، اینمی ساختمان‌ها و زندگی ساکنان آن را در معرض تهدید قرار می‌دهد. زمین لرزه‌های پارکیلاد^۱ (۱۹۶۶) و پاکوپا سانفرنارندو^۲ (۱۹۷۱)، مبدأ انجام فعالیت‌های پژوهشی در زمینه‌ی شناسایی ماهیت حرکات و ارتعاشات نیرومند زمین در نزدیکی مرکز زمین لرزه بودند و بعد از آنها، عبارت «نزدیک گسل» در پژوهشی در سال ۱۹۷۵ در سال ۱۹۷۵، مطح و مداول شد.^[۱] پژوهشگران فواصل متفاوتی بین ۱۰ تا ۶۰ کیلومتر را به عنوان محدوده‌ی حوزه‌ی نزدیک پیشنهاد کردند.^[۲] در سال ۲۰۰۳، فاصله‌ی مذکور به میزان ۲۰ کیلومتر معروف شد.^[۳] در پژوهش دیگری (۲۰۱۰)، رکوردهای ثبت شده تا فاصله ۱۰ کیلومتری از کانون زلزله به عنوان زلزله‌های میدان نزدیک در نظر گرفته شد و برخی دیگر، فاصله‌ی مذکور را ۵۰ کیلومتر پیشنهاد دادند.^[۴] وقوع زمین لرزه‌های نزدیک گسل، مانند: زلزله‌ی نورث‌ریچ آمریکا (۱۹۹۴)، کوبه‌ی زاپن (۱۹۹۵)، چی‌چی نایوان (۱۹۹۹)، به ایران (۲۰۰۳) و سیچوان چین (۲۰۰۸).

* نویسنده مسئول

تاریخ: دریافت ۷/۸/۱۳۹۴، اصلاحیه ۳/۳/۱۳۹۵، پذیرش ۱۹/۳/۱۳۹۵.

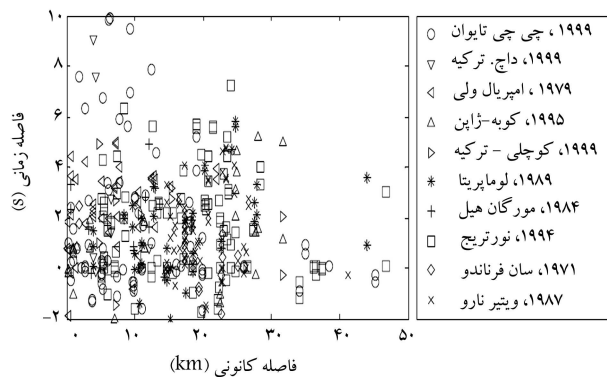
از منبع زلزله، این زمان تقریباً صفر است.^[۱۹] شکل ۱، توزیع فاصله‌ی زمانی بین دو بیشینه‌ی شتاب قائم و افقی را نشان می‌دهد که مطابق آن مشخص است که فاصله‌ی زمانی می‌تواند مقادیر متفاوتی را به ازاء میزان فاصله از منبع به خود اختصاص دهد، ولی در بیشتر موارد کمتر از ۵ ثانیه است.^[۱۹]

معمولًا ساختمان‌ها در هنگام زلزله از خود رفتار غیررجاعی نشان می‌دهند، لذا با استفاده از روش‌های مرسم آینین نامه‌ها که براساس تحلیل‌های خطی هستند، نمی‌توان کنترولی بر رفتار سازه‌ها پس از ورود به تأثیرهای غیررجاعی داشت. لذا در نوشتار حاضر، تحلیل استاتیکی غیرخطی و تحلیل دینامیکی غیرخطی (تاریخچه‌ی زمانی) بر روی ساختمان‌هایی که بر مبنای تحلیل‌های خطی بیان شده در استاندارد ۲۸۰۰ ایران،^[۲۰] طراحی شده‌اند، انجام و با بررسی تأثیر فاصله‌ی زمانی بیشینه‌ی پاسخ مؤلفه‌های افقی و قائم زمین‌لرزه در هنگام وقوع زلزله‌های حوزه‌ی نزدیک در رفتار لرزه‌ی اعضاء ساختمان‌های بین‌آرمه نتایج تحلیل با یکدیگر مقایسه شده‌اند.

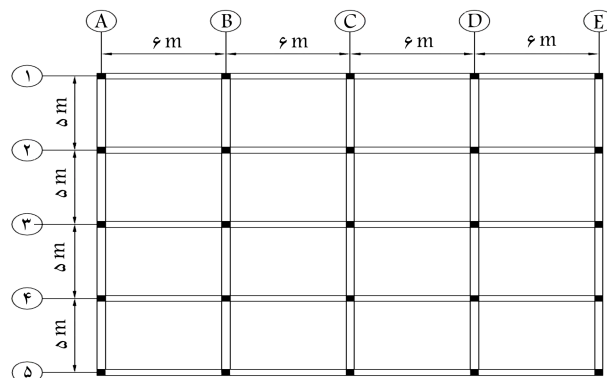
۲. مشخصات سازه‌های مدل شده

سازه‌های مورد استفاده در پژوهش حاضر سازه‌های بتن سلسیع با تعداد طبقات ۴، ۷، ۱۰، ۱۳، ۱۶ و ۲۰ هستند. سازه‌ها به ۳ دسته‌ی کوتاه مرتبه (۴ و ۷ طبقه)، میان مرتبه (۱۰ و ۱۳ طبقه) و بلند مرتبه (۱۶ و ۲۰ طبقه) تقسیم‌بندی شده‌اند. مدل‌ها با قاب‌های ۴ دهانه به طول ۶ متر در راستای X و طول ۵ متر در راستای Y و ارتفاع طبقات ۳/۲ متر هستند. پلان مدل‌ها در شکل ۲ مشارکه شده‌اند.

طراحی لرزه‌ی براساس استاندارد ۲۸۰۰ ایران و برایش سوم،^[۲۱] انجام شده است. سازه در منطقه با لرزه‌خیزی خیلی زیاد واقع شده و نوع خاک محل تیپ II



شکل ۱. توزیع فاصله‌ی زمانی بین بیشینه‌ی شتاب قائم و افقی.^[۱۹]



شکل ۲. پلان مدل‌های مورد بررسی.

کاهش می‌یابد.^[۲۲] در پژوهشی در سال ۱۹۹۱ بیان شده است که ارتعاشات قائم باعث نایابی‌داری در پایه‌ی پل‌ها می‌شود.^[۲۳] در بررسی اثر مؤلفه‌ی قائم زلزله در پل‌ها (۱۹۹۶)، نیز مشاهده شد که نیروی برشی و لنگر خمشی تیرها و همچنین نیروی محوری ستون‌ها و پی‌ها در حدود ۳۰ الی ۶۰ درصد افزایش می‌یابد.^[۲۴]

همچنین در برخی مطالعات این نتیجه به دست آمد که حرکات عمودی زمین به فاصله‌ی تا ساخت‌گاه موردنظر و نسبت طیف پاسخ عمودی به افقی به فاصله و زمان تناوب سازه واپس است.^[۲۵] در پژوهش دیگری (۲۰۰۰) در مورد سازه‌ی قاب خمشی بتن مسلح ۵ طبقه بیان شده است که در اثر حرکات عمودی زمین به تنهایی، ستون‌های سازه به حد تسییم نرسیده‌اند، در حالی که در اثر حرکات افقی با بیشینه‌ی شتاب کمتر نسبت به حرکات عمودی، ستون به تسییم رسیده است. همچنین با بررسی نسبت شکل‌بندی‌ی امان‌ها برای حرکت توانان افقی و عمودی و حرکت افقی به تنهایی، مشخص شد که حرکات عمودی زمین، تأثیر قابل ملاحظه‌ی در خرابی سازه‌ها دارد.^[۲۶]

جهت ارزیابی تأثیر مؤلفه‌ی قائم زلزله در پاسخ ساختمان نامتقارن با جداساز لرزه‌ی اصطکاکی، مطالعاتی (۲۰۰۳) انجام شده و نتایج نشان داده است که مؤلفه‌ی قائم یک زلزله شدید به طور قابل ملاحظه‌ی، پاسخ سازه‌ی نامتقارن دارای جداساز لرزه‌ی اصطکاکی را که از لحاظ پیچشی دارای سیستم هم‌بسته است، تحت تأثیر قرار می‌دهد.^[۲۷] در صورت درنظر نگرفتن مؤلفه‌ی قائم زلزله، پاسخ بیشینه‌ی تغییر مکان پایه در سازه‌های با زمان تناوب کمتر از ۷/۰ ثانیه دست پایین به دست خواهد آمد، در حالی که در زمان تناوب‌های متوسط و بزرگ چنین مشکلی به وجود نخواهد آمد.^[۲۸]

در یک تحلیل سه‌بعدی ساختمان‌ها تحت مؤلفه‌ی قائم زمین‌لرزه‌ها (۲۰۰۰)، با انجام ۱۰۸۰ تحلیل تاریخچه‌ی زمانی و ۱۸۰ تحلیل استاتیکی از ساختمان‌های بتن‌آرمه به بررسی روابط حد نهایی نیروی محوری ستون‌ها و لنگر خمشی تیرها با مؤلفه‌ی قائم زلزله پرداخته شد و نتایج نشان داد که روابط مذکور، خطی هستند و متناسب با شتاب بیشینه‌ی حاصل از طیف پاسخ شتاب است.^[۲۹] در ارزیابی میزان کارایی نسبت مؤلفه‌ی افقی به قائم زمین‌لرزه‌ها به عنوان یک پارامتر جهت توصیف پاسخ ساخت‌گاه (۲۰۱۴)، این نتیجه به دست آمد که جهت توصیف شرایط ساخت‌گاه، نسبت مؤلفه‌ی افقی به قائم زلزله، پارامتر بهتری نسبت به سرعت موج پرشی در بستر لرزه‌ی (Vs۲۰) است.^[۳۰]

تاریخچه‌ی پژوهش‌ها نشان می‌دهد که مؤلفه‌ی قائم زلزله و اثرات آن در تحلیل ساختمان‌ها از مدت‌ها پیش مورد توجه پژوهشگران طراح قرار داشته است.^[۳۱] اما آنچه که کمتر مورد توجه قرار گرفته است، فاصله‌ی زمانی و قوع مؤلفه‌های افقی و قائم بیشینه‌ی شتاب زمین است.

یکی از مهم‌ترین ویژگی‌های زمین‌لرزه، رابطه‌ی بین فاصله‌ی زمانی است که بیشینه‌ی تکان عمودی با بیشینه‌ی تکان افقی دارد. عموماً بیشینه‌ی تکان عمودی زودتر از بیشینه‌ی تکان افقی رخ می‌دهد، بنابراین اثر قابل ملاحظه‌ی در پاسخ سازه‌ها دارد. هرگاه بیشینه‌ی تکان قائم خیلی زودتر از مؤلفه‌ی افقی رخ دهد، در طراحی سازه اثر هر کدام از دو مؤلفه را باید جداگانه در نظر گرفت، ولی هنگامی که بیشینه‌ی مقدار این دو مؤلفه نزدیک به یکدیگر اتفاق بیفتد، در طراحی باید اثر دو مؤلفه را هم زمان در نظر گرفت، زیرا در این حالت آسیب‌های زیادی به اعضاء سازه‌ی وارد می‌شود.^[۳۲]

در مطالعه‌ی ۳۲ رکورد با فاصله‌های متفاوتی از مرکز زلزله ولی با شرایط منطقه‌ی یکسان (۲۰۱۱)، این نتیجه به دست آمد که فاصله‌ی زمانی بین دو بیشینه‌ی شتاب افقی با افزایش فاصله از منبع زلزله افزایش می‌یابد و تا فاصله‌ی ۵ کیلومتری

۳. رکوردهای استفاده شده در تحلیل تاریخچه زمانی

در نوشتار حاضر، از تحلیل دینامیکی غیرخطی (تاریخچه زمانی) که به عنوان دقیق ترین روش در بررسی رفتار سازه ها در حین زلزله از آن باید می شود، استفاده شده است. جهت انجام این تحلیل نیاز به شتاب نگاشت زمین لرزه های رخداده است، از این رو با توجه به اهدافی که در نوشتار حاضر تعیین شده است، از رکوردهای حوزه هی نزدیک گسل استفاده شده است. همچنین بررسی رکوردهای موردنظر از نرم افزار سایزموسیگنال، استفاده شده است.^[۲۲] از نرم افزار مذکور می توان مشخصات رکوردها، از قبیل: تاریخچه زمانی پاسخها، طیف پاسخ، دوره هی تابوت اصلی، سرعت، جابه جایی، طیف فوریه و طیف توان را به دست آورد. طی بررسی های صورت گرفته بر روی شتاب نگاشته های ثبت شده در حوزه هی نزدیک مشخص شد که وجود مقادیر بالای PGV/PGD، PGA و PGW باعث بروز خسارت های بالا در سازه ها می شود.^[۲۳] به همین دلیل انتخاب رکوردهای حوزه هی نزدیک بر مبنای PGA بالای آن ها بوده و سعی شده است تا مؤلفه هی قائم بزرگ تر از مؤلفه هی افقی باشد. رکوردهای در نظر گرفته شده از سایت اینترنتی PEER گرفته شده و مشخصات آن در جدول ۳ ارائه شده است.

در جدول مذکور، علاوه بر بزرگای زلزله، مقادیر بیشینه هی شتاب افقی و بیشینه هی شتاب قائم به افقی ارائه شده است. این گروه از رکوردها، به گونه هی که نسبت شتاب قائم داشته و در فواصل حدود نزدیک گسل قرار گرفته اند، به گونه هی که نسبت شتاب قائم به افقی بین ۰/۶۳ تا ۱/۷۶ بوده است. لازم به یادآوری است جهت مقیاس کردن شتاب نگاشته های مورد استفاده، از روند پیشنهادی استاندارد ۲۸۰۰ استفاده شده است.^[۲۰]

۴. تجزیه و تحلیل نتایج

۱.۴. منحنی ظرفیت سازه ها

هنگامی که قرار است سازه هی برای سطح عملکرد خاصی ارزیابی شود، از تحلیل استاتیکی غیرخطی استفاده می شود، تا منحنی ظرفیت سازه (تعییر مکان جانبی - نیروی برشی پایه) به دست آید. از این رو در نوشتار حاضر، تحلیل با رفروزن سازه ها با هدف تخمین مقاومت جانبی و ظرفیت تغییر شکل و همچنین شناسایی مکانیزم های شکست ممکن بر پایه هی کنترل تعییر مکان^۳ انجام شده است.

در پژوهش حاضر، از روش حالت خمیری متمنکر^۳ جهت مدل سازی رفتار اعضاء بتئی استفاده شده است. حالت خمیری متمنکر روشی است که در آن مجموعه هی از اعضاء کشسان و فنرهای غیرخطی برای مدل سازی رفتار غیرخطی عضو به کار برد می شوند. در روش مذکور محل وقوع رفتار غیرخطی و تشکیل مفاصل خمیری از قبیل پیش بینی و تعیین می شود و قوع رفتار غیرخطی در نقاطی به جز نقاط در نظر گرفته شده ممکن نخواهد بود. در روش مذکور، امکان وقوع مفاصل خمیری تو سط یک فنر دورانی که منعکس کننده رفتار لنگر - دوران مفصل است، در نظر گرفته می شود. فنرهای غیرخطی بسته به نوع مدل می توانند منعکس کننده رفتارهای محوری، برشی، خمشی، پیچشی و یا ترکیبی از آنها باشند. فنر غیرخطی برای مدل سازی هر یک از رفتارهای ذکر شده، از یک رابطه هی نیرو - تغییر مکان از پیش تعیین شده استفاده می کند.

مدل سازی چشممهی اتصال نیز به کمک المان joint ۲d انجام شده است. در تعریف المان مذکور، ۴ گره تعریف مشخصات آنها بر مبنای هندسه هی چشممهی اتصال صورت گرفته است. رفتار برشی چشممهی اتصال که در پژوهش حاضر به صورت

فرض شده است. مدل ها از نظر طبقه بندی ساختمان در گروه ۳ (با اهمیت متوسط) قرار گرفته اند. مدل ساختمان های ۱۰، ۷، ۴ و ۱۳ طبقه با سیستم مقاوم جانبی قاب خمشی بتن مسلح با شکل پذیری متوسط $R = 7$ هستند و مدل ساختمان های ۱۶ و ۲۰ طبقه با سیستم مقاوم در برابر بار جانبی قاب خمشی با شکل پذیری و یه $R = 10$ هستند. با رگذاری فلزی براساس مبحث ششم مقررات ملی ساختمان انجام شده است.^[۲۱]

بارهای وارده به سازه شامل: 500 kg/m^2 بار مرده، 200 kg/m^2 بار زنده ای طبقات، 150 kg/m^2 بار زنده ای بام و 20 kg/m^2 بار مرده ای ناشی از پاره شدن بوده است. مقاومت مشخصه هی بتن برابر 240 kg/cm^2 ، مقاومت تسیلیم فولادهای طولی برابر 4000 kg/cm^2 و مقاومت تسیلیم فولادهای عرضی برابر 3000 kg/cm^2 در نظر گرفته شده است. ضریب پواسون برابر 0.25 و مدول کشسانی برابر با 245 kg/cm^2 هستند. سقف طبقات از نوع تیرچه بلوك و اتصالات صلب فرض شده اند. طراحی قاب ها با استفاده از نرم افزار ETABS ۲۰۰۰ v۱۴ و براساس مقررات ملی ساختمان مبحث نهم و آین نامه هی بتن کانادا (CSA A23-۳۰-۰۴) صورت گرفته و سعی شده است که سازه ها تأمین کننده هی محدوده تغییر مکانی بیان شده در استاندارد لرزه هی ۲۸۰۰ باشند. نمونه هی از مشخصات هندسی اجزاء سازه هی ساختمان ۱۰ طبقه و فولاد تیرهای ساختمان ۴ طبقه در جدول های ۱ و ۲ ارائه شده است.

جدول ۱. مشخصات هندسی اجزاء سازه هی ساختمان ۱۰ طبقه.

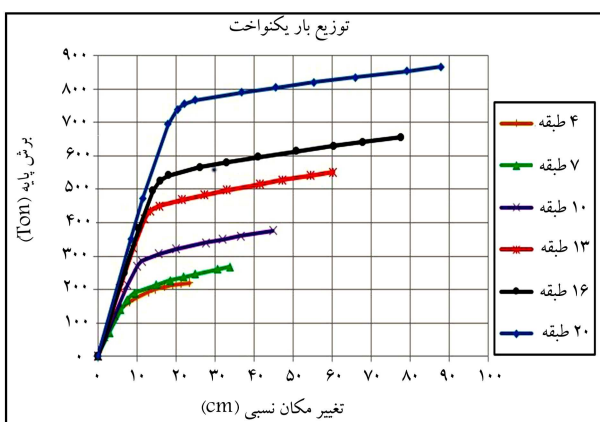
طبقات	ابعاد ستون (cm)	ابعاد تیر (cm)
اول	55×55	55×55
دوم	55×55	55×55
سوم	55×55	55×55
چهارم	50×50	50×50
پنجم	50×50	50×50
ششم	45×45	45×40
هفتم	45×45	45×40
هشتم	40×35	45×40
نهم	40×35	40×40
دهم	35×35	35×35

جدول ۲. مشخصات میلگرد تیرهای ساختمان ۴ طبقه.

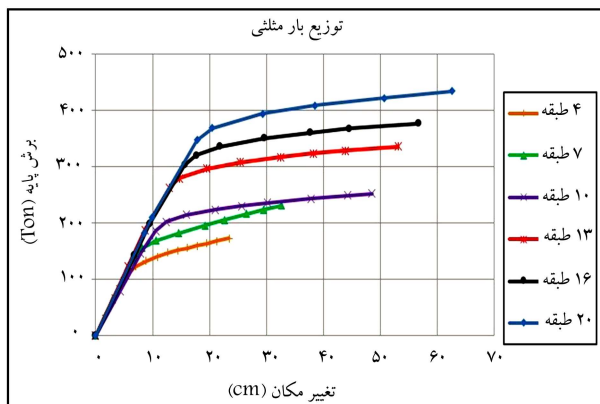
طبقه	ابعاد	ابتداء و انتهای تیر
برشی	طولی پایین	طولی بالا
T10@8/75	8T20	6T20
T10@8/75	8T20	6T20
T10@7/5	6T20	4T20
T10@6/25	7T16	4T16
وسط تیر		
برشی	طولی پایین	طولی بالا
T10@17/5	3T20	3T20
T10@17/5	3T20	3T20
T10@15	3T20	3T20
T10@12/5	3T16	3T16

جدول ۳. مشخصات زلزله‌های انتخابی.

نام زلزله	فاصله تا گسل (km)	ایستگاه	هزارگای زلزله	PGA	مولفه‌ی افقی (H1)	مولفه‌ی افقی (H2)	مولفه‌ی افقی قائم (V)	V/H	فاصله‌ی زمانی مولفه‌های افقی و قائم (Sec)
امپریال ولی (۱۹۷۹)	۵,۳	الستترو	۶,۵	۰,۳۵۲	۰,۴۸	۰,۷۰۷	۰,۴۷	۱,۹۹۵	
غزلی (۱۹۷۶)	۳	کاراکاپر	۶,۸	۰,۶۰۸	۰,۷۱۸	۱,۲۶۴	۱,۷۶	۰,۹۲۵	
کوبه (۱۹۹۵)	۱,۲	تاكارازوکا	۶,۹	۰,۶۹۳	۰,۶۹۳	۰,۴۲۳	۰,۶۳	۰,۲۴	
لندرز (۱۹۹۲)	۱,۱	لوسرن	۷,۳	۰,۷۲۱	۰,۷۸۵	۰,۸۱۸	۱,۰۴	۰,۸۸	
کوچای (۱۹۹۱)	۱۷	گیز	۷,۴	۰,۲۴۴	۰,۲۰۳	۰,۱۳۷	۰,۸۳	۰,۰۲	
نورث‌ریج (۱۹۹۴)	۷,۱	ریتلندی	۶,۷	۰,۸۳۸	۰,۴۷۲	۰,۸۵۲	۱,۰۲	۰,۲۳	
لوما پریتا (۱۹۸۹)	۱۰,۳	بران	۶,۹	۰,۴۵۳	۰,۵۰۱	۰,۵۰۷	۱,۰۱	۱,۴۱	



شکل ۳. منحنی ظرفیت مدل‌ها با توزیع بار یکنواخت.



شکل ۴. منحنی ظرفیت مدل‌ها با توزیع بار مثبتی.

بهسازی نشده‌اند، بنابراین از این روش جهت تعیین رفتار کلی سازه می‌توان استفاده کرد.

طبقه جدول مذکور برای ساختمان با سیستم مقاوم جانبی قاب خمی، این محدودیت بین ۱ تا ۲ درصد است. اگر تعییر مکان در این محدوده قرار بگیرد، سازه در سطح عملکرد اینمی جانی قرار می‌گیرد (۱٪ ارتفاع طبقه برابر ۳/۲ سانتی متر و ۰/۲٪ ارتفاع طبقه برابر ۶/۴ سانتی متر است).

شکل‌های ۵ الی ۱۰، تعییر مکان نسبی برای دو حالت بارگذاری یکنواخت و مثبتی ساختمان‌های ۴، ۷، ۱۰، ۱۳، ۱۶ و ۲۰ طبقه را نشان می‌دهند. همان‌گونه که

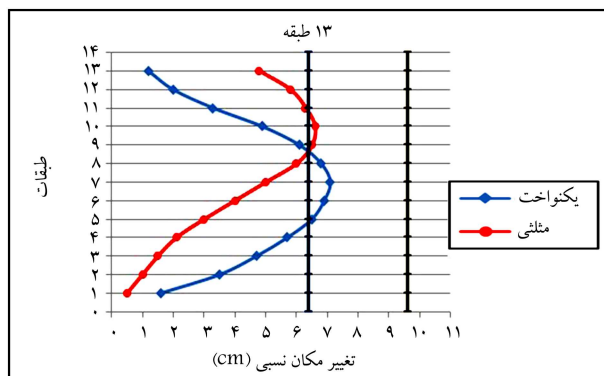
کشسان فرض شده است، توسط یک مصالح از پیش تعریف شده به آن اختصاص می‌یابد. جهت مدل‌سازی رفتار لنگر - دوران نقاط انتهایی تیرها و ستون‌ها، از فنرهای دورانی را ره شده توسط المان Joint ۲d استفاده شده است. این فنرها در نقاط گرهی المان مذکور قرار گرفته و مصالح اختصاص یافته به فنرهای مذکور نماینده‌ی رفتار لنگر - دوران آنهاست.

رفتار لنگر - دوران فنرهای ذکر شده توسط مصالح موجود در کتابخانه‌ی OpenSees تعریف می‌شود. شکل‌های ۳ و ۴، به ترتیب منحنی ظرفیت براساس توزیع بار جانبی یکنواخت و مثبتی را در ساختمان‌های ۷، ۴، ۱۰، ۱۳، ۱۶ و ۲۰ طبقه نشان می‌دهند. مشاهده می‌شود که تغییر مکان هدف و برش پایه در بارگذاری یکنواخت بیشتر از بارگذاری مثبتی است و همچنین با افزایش طبقات، تفاوت تغییر مکان هدف و برش پایه بین دو حالت بارگذاری یکنواخت و مثبتی می‌توان نتیجه‌گرفت که منحنی ظرفیت با توزیع بار جانبی یکنواخت سختی اولیه و ظرفیت برشی و تغییر مکان جانبی بیشتری نسبت به منحنی ظرفیت با توزیع بار جانبی مثبتی دارد.

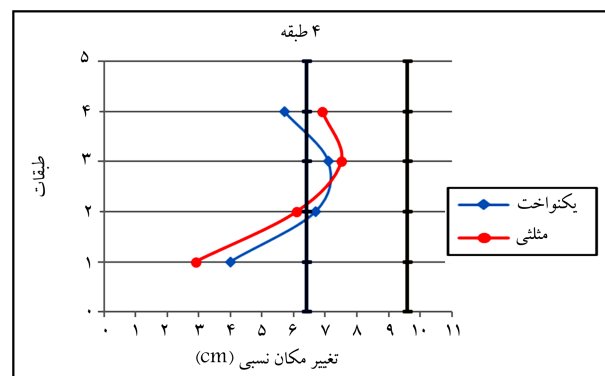
۴. بررسی عملکرد سازه‌ها از نظر تغییر مکان جانبی نسبی طبقات در تحلیل استاتیکی غیرخطی

در بخش کنونی، تغییر مکان نسبی طبقات براساس آین نامه‌ی FEMA-۳۵۶ [۲۴] در جدول C1-۳ از آین نامه‌ی (FEMA-۳۵۶)، محدودیت‌هایی برای کنترل تغییر مکان جانبی نسبی حاصل از تحلیل بارافزون به ازاء سطح عملکرد مختلف برای انواع سازه‌ها ارائه شده است.

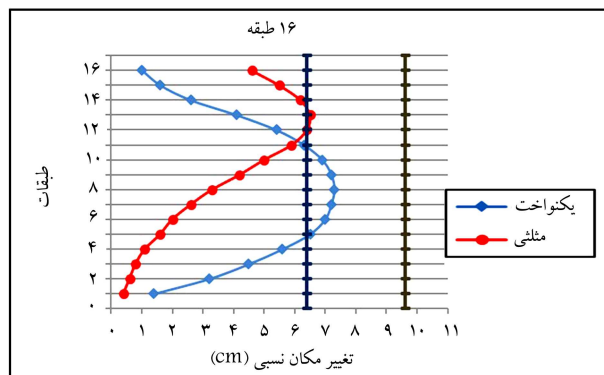
در جدول مذکور منظور از Transient Drift تغییر مکان جانبی گذراست، که بیشینه‌ی تغییر مکان جانبی نسبی طبقات است که پیش‌بینی می‌شود در طول وقوع زلزله‌ی طرح در ساختمان ایجاد شود (به عنوان مثال تغییر مکان هدف) و منظور از Permanent Drift تغییر مکان جانبی ماندگار است که بیشینه‌ی تغییر مکان جانبی نسبی طبقات است که پس از وقوع زلزله به دلیل رفتار خمیری یا ترک خودگی در سازه باقی می‌ماند. در تحلیل بارافزون، تغییر مکان جانبی گذرا به ازاء تشکیل اولین مفصل خمیری محاسبه می‌شود و تغییر مکان جانبی ماندگار به ازاء تغییر مکان هدف محاسبه می‌شود. [۲۵] مقادیر جدول مذکور فقط برای ارزیابی کیفی رفتار سازه‌ها در سطح عملکرد موردنظر است و از محدودیت تغییر مکان نسبی جانبی را ره شده در جدول مذکور نباید به عنوان معیار پذیرش و قابل قبول بودن سازه‌ی بهسازی شده استفاده کرد. با توجه به اینکه سازه‌های مورد بررسی در پژوهش حاضر



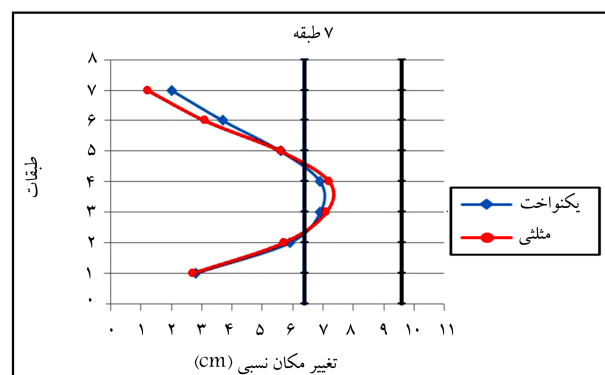
شکل ۸. تغییر مکان نسبی برای دو حالت بارگذاری یکنواخت و مثلثی در مدل ۱۳ طبقه.



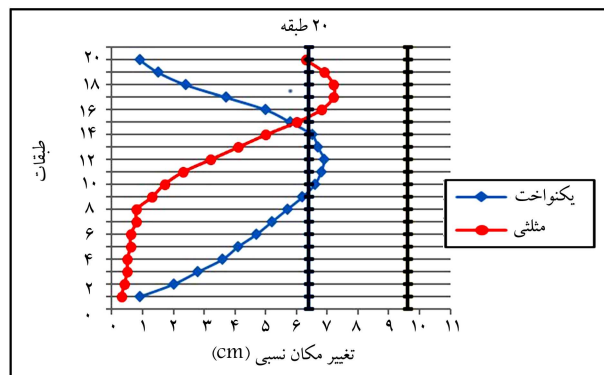
شکل ۵. تغییر مکان نسبی برای دو حالت بارگذاری یکنواخت و مثلثی در مدل ۴ طبقه.



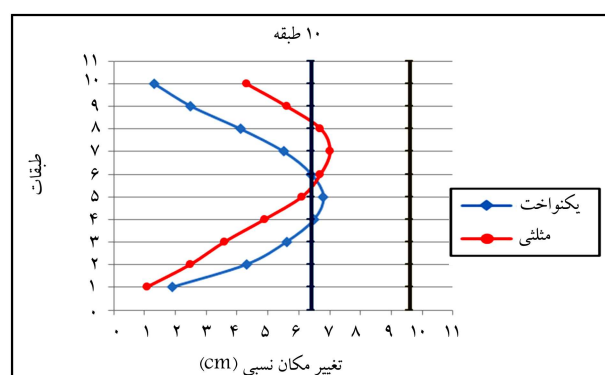
شکل ۹. تغییر مکان نسبی برای دو حالت بارگذاری یکنواخت و مثلثی در مدل ۱۶ طبقه.



شکل ۶. تغییر مکان نسبی برای دو حالت بارگذاری یکنواخت و مثلثی در مدل ۷ طبقه.



شکل ۱۰. تغییر مکان نسبی برای دو حالت بارگذاری یکنواخت و مثلثی در مدل ۲۰ طبقه.

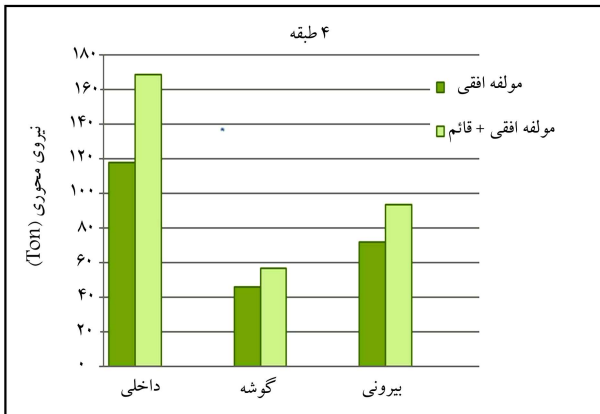


شکل ۷. تغییر مکان نسبی برای دو حالت بارگذاری یکنواخت و مثلثی در مدل ۱۰ طبقه.

تحلیل دینامیکی غیرخطی (تاریخچه‌ی زمانی) انجام شده است. تحلیل تاریخچه‌ی زمانی با اثراذدن زلزله‌های حوزه‌ی نزدیک شامل دو حالت مؤلفه‌ی افقی و مؤلفه‌ی افقی به همراه مؤلفه‌ی قائم توسط نرم‌افزار OpenSees انجام شده است. نرم‌افزار برای شبیه‌سازی پاسخ غیرکشسان سیستم‌های سازه‌ی و ژئوتکنیکی تحت اثر بارهای استاتیکی و دینامیکی به کار می‌رود. در مطالعه‌ی حاضر، همان‌طور که پیش تر گفته شد، جهت مدل‌سازی و فرمول‌بندی المان‌ها از مدل‌ها خمیری متتمرکز استفاده شده است که تخمین دقیقی از تیازهای بار و تغییر شکل جزاء سازه‌ی و همچنین پاسخ کلی سازه را ارائه می‌دهد. مدل حالت خمیری متتمرکز

مشاهده می‌شود، تمامی ساختمان‌ها با وجود مفاصلی که از حد ایمنی جانی گذشته و وارد آستانه‌ی فوربریش شده‌اند، در بررسی تغییر مکان نسبی در محدوده‌ی ایمنی جانی قرار گرفته‌اند. بنابراین مفاصل فراتر از ایمنی جانی پیش رفت‌ماند، اما در سطح طبقات مدل‌ها در اجزاء سازه‌ی در محدوده‌ی ایمنی جانی قرار گرفته‌اند.

۳.۴ نتایج حاصل از تحلیل دینامیکی غیرخطی
جهت بررسی عملکرد واقعی سازه در حین زلزله، ارزیابی پاسخ لرزه‌ی مدل‌ها تحت



شکل ۱۱. متوسط نیروی محوری ستون‌های گوشه، داخلي و بیرونی طبقه‌ي اول در مدل ۴ طبقه.



شکل ۱۲. متوسط نیروی محوری ستون‌های گوشه، داخلي و بیرونی طبقه‌ي اول در مدل ۷ طبقه.



شکل ۱۳. متوسط نیروی محوری ستون‌های گوشه، داخلي و بیرونی طبقه‌ي اول در مدل ۱۰ طبقه.

هر چه تعداد طبقات بیشتر شود، اختلاف نیروی محوری میان اثر مؤلفه‌های افقی و قائم به همراه مؤلفه‌ی افقی کاهش می‌یابد. زیرا با افزایش تعداد طبقات، بارهای ثقلی افزایش می‌یابند و باعث کاهش حساسیت نیروی محوری ستون‌ها به اثرات قائم لرزه‌یی می‌شوند. در نتیجه، تأثیر مؤلفه‌ی افقی قائم زلزله در ساختمان‌های کوتاه‌مرتبه بیشتر از ساختمان‌های میان‌مرتبه و بلند‌مرتبه است.

مستلزم یک مدل مقطعی جهت تعریف پاسخ لنگر - احنا در نقاطی در راستای طول عضو است که در مطالعه‌ی حاضر از مدل مشبّدی الیافی^۵ به دلیل مزایای آن استفاده شده است.^[۱۶]

برای مدل سازی خصوصیات مواد، اعم از بتن و فولاد از مدل استاندارد بتن و منحنی تنش - کرشن فولاد جهت تعریف پاسخ مقطع استفاده شده است. در این راستا، مدل concrete برای مدل سازی بتن استفاده شد که تحت بارگذاری فشاری، پاسخ تنش - کرشن سه‌می شکل تا نقطه‌ی مقاومت فشاری بیشینه داشت، آنگاه تا مقاومت فشاری ماندگار، رفتار خطی کاهنده داشت. پاسخ بتن تحت بارگذاری فشاری توسط این مؤلفه‌ها تعریف می‌شود: ۱. مقاومت فشاری بتن، ۲. کرشن فشاری معادل مقاومت فشاری بیشینه، ۳. سختی بعد از نقطه‌ی بیشینه و ۴. مقاومت ماندگار بتن. کرشن متناظر مقاومت فشاری برابر $20 \times 50^{\circ}$ فرض شد و سختی بعد از نقطه‌ی بیشینه به گونه‌ی تعریف شد که مقاومت ماندگاری برابر 80% مقاومت فشاری در سطح کرشن 40° باقی بماند. این مقادیر کرشن‌ها با نتایج ماندرو و همکاران، سازگار بوده است.^[۲۷]

در شبیه‌سازی منحنی تنش - کرشن فولاد، از مدل steel استفاده شد. این مدل فرمول بندی حالت خمیری یک بعدی با سخت‌شوندگی ایزوتوپیک خطی دارد و منحنی‌های Menegotto-Pinto را جهت توصیف پاسخ باربرداری - بارگذاری استفاده می‌کند.^[۲۸] این مدل توصیف بهتری از اثر بوشینگر دارد. رابطه‌ی تنش - کرشن برای مدل Menegotto-Pinto به صورت رابطه‌ی ۱ است:

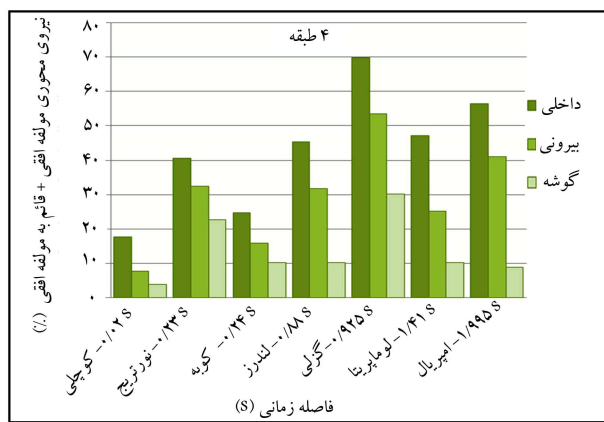
$$\frac{f}{f_0} = b \frac{\varepsilon}{\varepsilon_0} + \frac{(1-b) \frac{\varepsilon}{\varepsilon_0}}{\left[1 + \left(\frac{\varepsilon}{\varepsilon_0}\right)^R\right]^{1/R}} \quad (1)$$

که در آن، b نسبت کرشن سخت‌شدنگی و ε_0 تنش و کرشن تسیلیم فولاد هستند. R متغیری است که حالت منحنی الخط پاسخ تنش - کرشن را کنترل می‌کند. طبق استاندارد 280° ، چنانچه از ۷ شتاب‌نگاشت یا بیشتر استفاده شود، می‌توان مقدار متوسط اثر آنها را برای کنترل تغییر شکل‌ها و نیروهای داخلي در نظر گرفت که در نوشтар حاضر از مقدار متوسط اثر شتاب‌نگاشت‌ها استفاده شده است.^[۲۹] همچنین در مدل سازی‌ها، سطح میرایی ویسکوز برابر 5% مقدار بحرانی در نظر گرفته شده است.

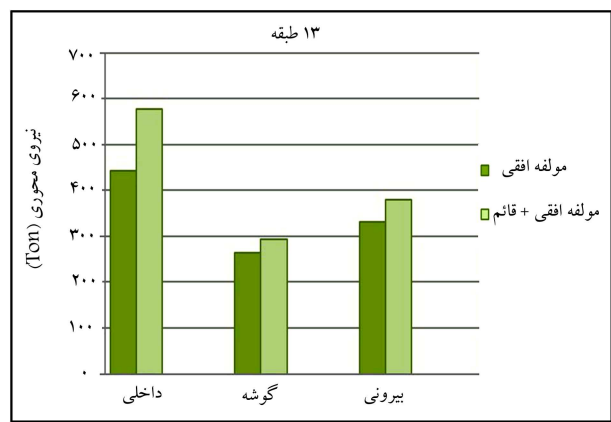
۱.۳.۴. بررسی نیروی محوری ستون‌ها

مهم‌ترین عضو سازه‌یی که مؤلفه‌ی قائم زلزله در آن تأثیر قابل ملاحظه‌ی دارد، ستون‌ها هستند. مطالعات پیشین نشان می‌دهد که در زلزله‌های حوزه‌ی نزدیک، مؤلفه‌ی قائم در مقایسه با مؤلفه‌ی افقی قابل ملاحظه است و باعث شکست در ستون‌های سازه می‌شود.^[۱۸] از این رو در بخش کنونی، نیروهای محوری ستون‌های گوشه، داخلي و بیرونی (پیرامونی) مدل‌ها بررسی شده است. نیروهای محوری هر یک از ستون‌ها در حالت‌های مؤلفه‌ی افقی و مؤلفه‌ی افقی به همراه مؤلفه‌ی قائم با یکدیگر مقایسه شده‌اند تا مشخص شود که مؤلفه‌ی قائم چه تأثیری در نیروهای محوری ستون دارد.

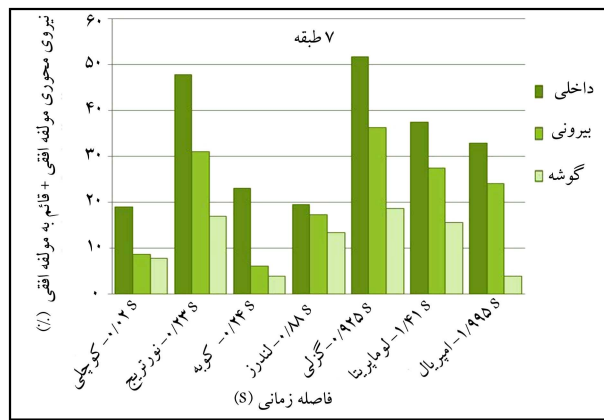
شکل‌های ۱۱ تا ۱۶، مقدار متوسط نیروی محوری ستون‌های گوشه، داخلي و بیرونی طبقه‌ی اول تحت اثر مؤلفه‌ی افقی و مؤلفه‌ی افقی به همراه مؤلفه‌ی قائم ساختمان‌های ۴، ۷، ۱۰، ۱۳، ۱۶ و 20° طبقه را نشان می‌دهد. مشاهده می‌شود که تأثیر مؤلفه‌ی قائم در ستون‌های داخلي، گوشه، و بیرونی قابل ملاحظه است و بیشترین تأثیر را در ستون‌های داخلي دارد. جدول ۴، مقایسه‌ی بین متوسط نیروی محوری طبقه‌ی اول ستون‌های سازه‌های کوتاه‌مرتبه، میان‌مرتبه و بلند‌مرتبه را نشان می‌دهد. می‌توان چنین نتیجه گرفت که



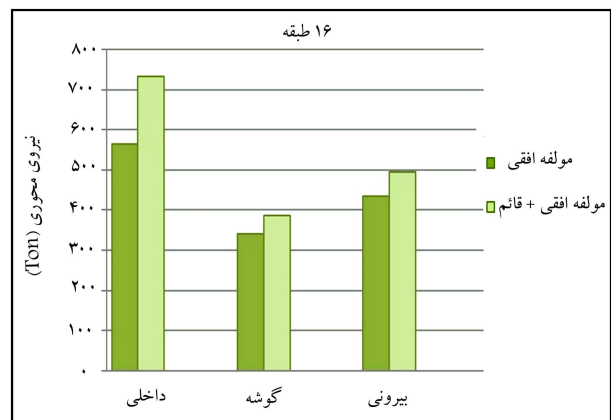
شکل ۱۷. فاصله‌ی زمانی بیشینه‌ی پاسخ مؤلفه‌های افقی و قائم بر روی نیروی محوری ستون‌ها در مدل ۴ طبقه.



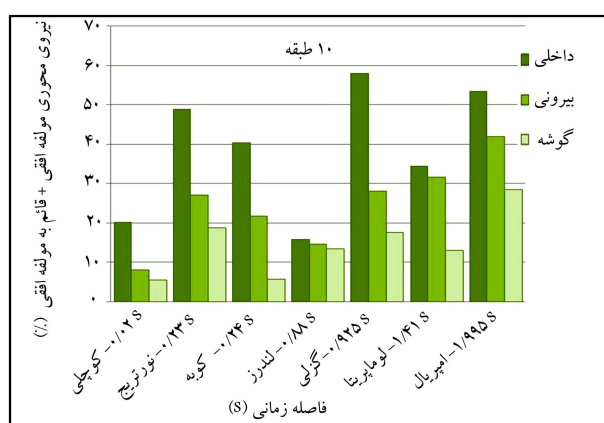
شکل ۱۴. متوسط نیروی محوری ستون‌های گوش، داخلي و بیرونی طبقه‌ی اول در مدل ۱۳ طبقه.



شکل ۱۸. فاصله‌ی زمانی بیشینه‌ی پاسخ مؤلفه‌های افقی و قائم بر روی نیروی محوری ستون‌ها در مدل ۷ طبقه.



شکل ۱۵. متوسط نیروی محوری ستون‌های گوش، داخلي و بیرونی طبقه‌ی اول در مدل ۱۶ طبقه.



شکل ۱۹. فاصله‌ی زمانی بیشینه‌ی پاسخ مؤلفه‌های افقی و قائم بر روی نیروی محوری ستون‌ها در مدل ۱۰ طبقه.

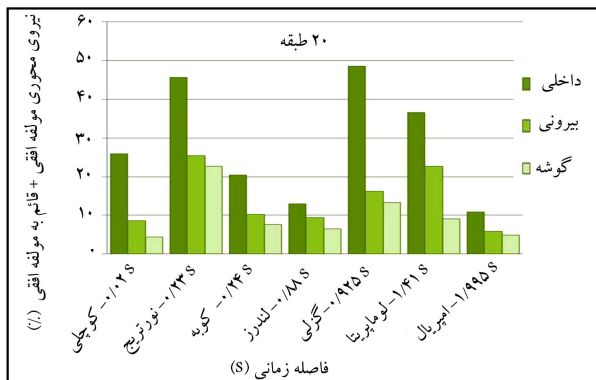


شکل ۱۶. متوسط نیروی محوری ستون‌های گوش، داخلي و بیرونی طبقه‌ی اول در مدل ۲۰ طبقه.

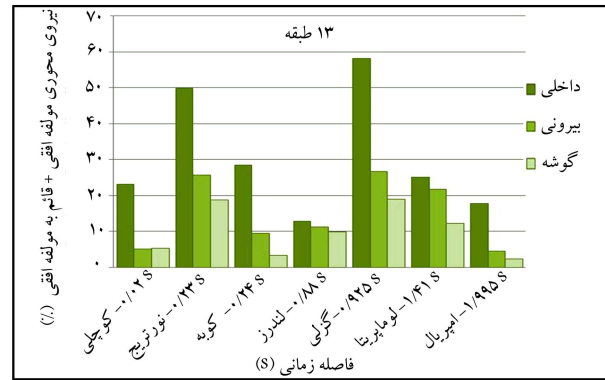
همچنین اثر فاصله‌ی زمانی بیشینه‌ی پاسخ مؤلفه‌های افقی و قائم بر روی نیروی محوری ستون‌ها بررسی شده است. در شکل‌های ۱۷ الی ۲۲، افزایش سمتی مؤلفه‌های افقی و قائم به مؤلفه‌ی افقی روی نیروی محوری ستون‌های گوش، داخلي، و بیرونی طبقه‌ی اول ساختمان های ۷، ۱۰، ۱۳، ۱۶، ۲۰ طبقه به ازاء فاصله‌ی زمانی بیشینه‌ی پاسخ مؤلفه‌های افقی و قائم برای ۷ شتاب نگاشت نشان داده شده

جدول ۴. مقایسه‌ی نیروی محوری طبقه‌ی اول ستون‌های ساختمان کوتاه مرتبه، میان مرتبه و بلند مرتبه.

نوع طبقات	تعداد طبقات	ستون	مولفه‌ی افقی (ton)	نسبت افزایش افقی + قائم به افقی (%)	مولفه‌ی افقی (ton)	مولفه‌ی افقی + قائم (%)	/molفه‌ی افقی + قائم به افقی (%)
کوتاه مرتبه	۴ طبقه	پیرامونی	۹۳,۵	۲۹,۹	۷۲	۱۱۷,۸	۱۶۸,۶
	۴ طبقه	گوشه	۴۵,۷	۲۴,۷	۴۵,۷	۱۱۷,۸	۱۶۸,۶
	۶ طبقه	پیرامونی	۲۱۴,۳	۳۲,۷	۲۸۷,۴	۱۱۷,۸	۱۶۸,۶
	۷ طبقه	پیرامونی	۱۳۹,۲	۲۳,۲	۱۷۱,۵	۱۱۷,۸	۱۶۸,۶
	۷ طبقه	گوشه	۹۸,۲	۱۱,۳	۱۰۹,۳	۱۱۷,۸	۱۶۸,۶
	۸ طبقه	پیرامونی	۲۲۰,۹	۳۵,۹	۴۳۶,۵	۳۲۱,۳	۴۳۶,۵
میان مرتبه	۱۰ طبقه	پیرامونی	۱۶۱,۸	۱۵,۱	۱۸۶,۲	۲۲۰,۹	۴۳۶,۵
	۱۰ طبقه	گوشه	۴۴۳	۳۰,۲	۵۷۶,۷	۲۲۱,۳	۴۳۶,۵
	۱۳ طبقه	پیرامونی	۳۲۱,۴	۱۴,۵	۳۷۹,۵	۳۲۱,۳	۴۳۶,۵
	۱۳ طبقه	گوشه	۲۶۳,۹	۱۱	۲۹۲,۹	۲۶۳,۹	۴۳۶,۵
	۱۶ طبقه	پیرامونی	۴۳۴,۶	۳۰,۱	۷۳۴	۵۶۴,۳	۵۶۴,۳
بلند مرتبه	۱۶ طبقه	پیرامونی	۳۴۲,۳	۱۳,۸	۴۹۴,۵	۴۹۴,۳	۵۶۴,۳
	۱۶ طبقه	گوشه	۷۴۸,۳	۱۳,۱	۳۷۸,۲	۳۴۲,۳	۴۹۴,۵
	۲۰ طبقه	پیرامونی	۶۲۷,۵	۲۸,۷	۹۶۲,۹	۷۴۸,۳	۷۴۸,۳
	۲۰ طبقه	گوشه	۵۴۳,۸	۱۱,۹	۷۰۲,۱	۶۲۷,۵	۶۲۷,۵
	۲۰ طبقه	پیرامونی	۵۴۳,۸	۱۰,۱	۵۹۸,۹	۵۴۳,۸	۵۹۸,۹



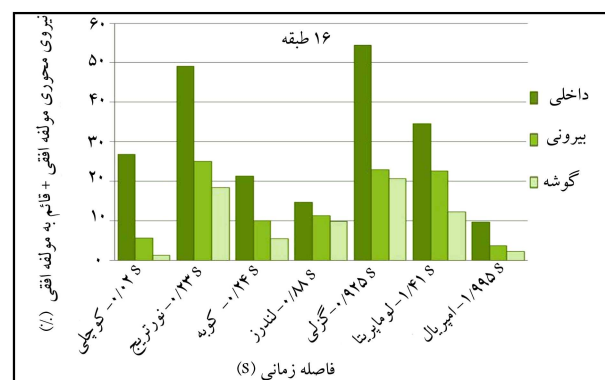
شکل ۲۲. فاصله زمانی بیشینه‌ی پاسخ مولفه‌های افقی و قائم بر روی نیروی محوری ستون‌ها در مدل ۲۰ طبقه.



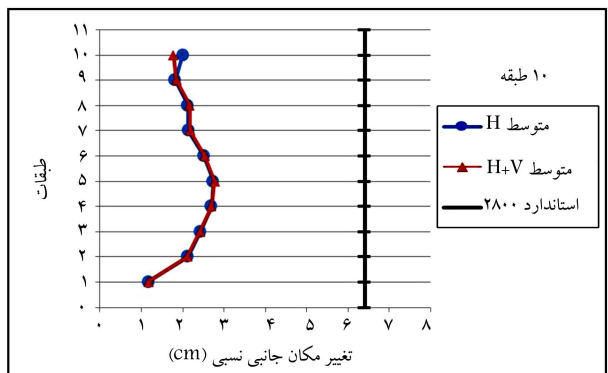
شکل ۲۰. فاصله زمانی بیشینه‌ی پاسخ مولفه‌های افقی و قائم بر روی نیروی محوری ستون‌ها در مدل ۱۳ طبقه.

مولفه‌ی قائم صورت گرفته است. در جدول ۵، به بررسی کلی تغییر مکان جانبی مدل‌ها که با عنوان ساختمان‌های کوتاه مرتبه، میان مرتبه و بلند مرتبه از آنان یاد شده، پرداخته شده است. با توجه به نتایج ارائه شده در جدول ۵ با افزایش طبقات، این نسبت برای تغییر مکان جانبی به مقدار کمی افزایش یافته است، در نتیجه می‌توان اثر مؤلفه‌ی قائم را نادیده گرفت.

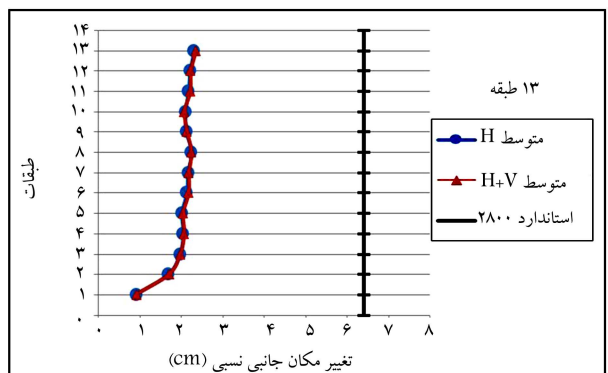
طبقه استاندارد ۲۸۰۰، تغییر مکان جانبی نسبی طبقات، اختلاف تغییر مکان‌ها را مراکز جرم کفت در بالا و پایین آن طبقه است. درصد تغییر مکان، اختلاف تغییر مکان‌ها را مراکز کفت در بالا و پایین آن طبقه تسمیم بر ارتفاع است. بر اساس بند ۴.۵.۲، بیشینه‌ی مقدار تغییر مکان نسبی و انتعی طرح (ΔM) در مرکز جرم هر طبقه باید برابر این مقادیر باشد و در رعایت محدودیت آثار ناشی از ΔP ، باید در محاسبه‌ی تغییر مکان‌ها اعمال شود:



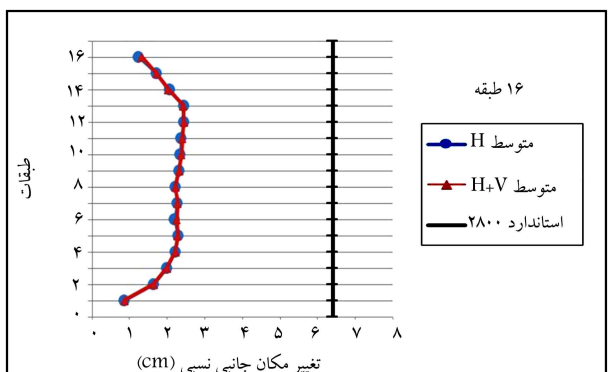
شکل ۲۱. فاصله زمانی بیشینه‌ی پاسخ مولفه‌های افقی و قائم بر روی نیروی محوری ستون‌ها در مدل ۱۶ طبقه.



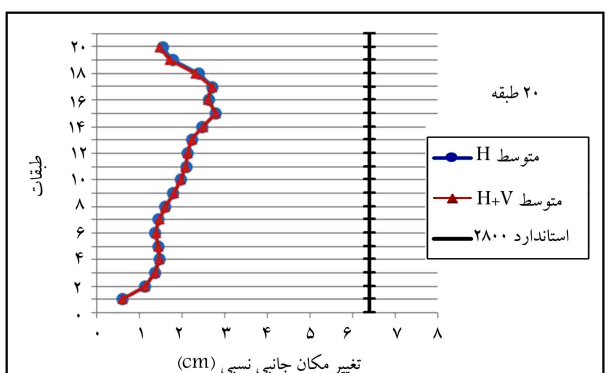
شکل ۲۵. تغییر مکان جانبی نسبی طبقات در مدل ۱۰ طبقه.



شکل ۲۶. تغییر مکان جانبی نسبی طبقات در مدل ۱۳ طبقه.



شکل ۲۷. تغییر مکان جانبی نسبی طبقات در مدل ۱۶ طبقه.

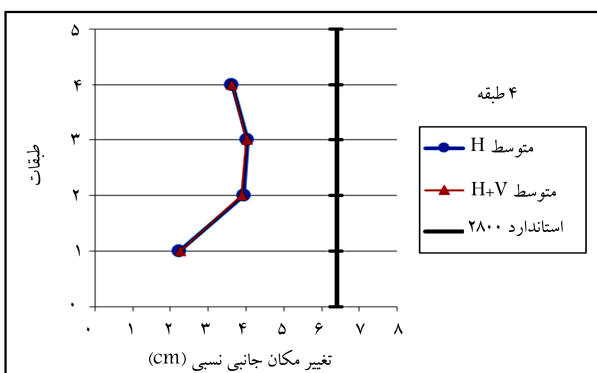


شکل ۲۸. تغییر مکان جانبی نسبی طبقات در مدل ۲۰ طبقه.

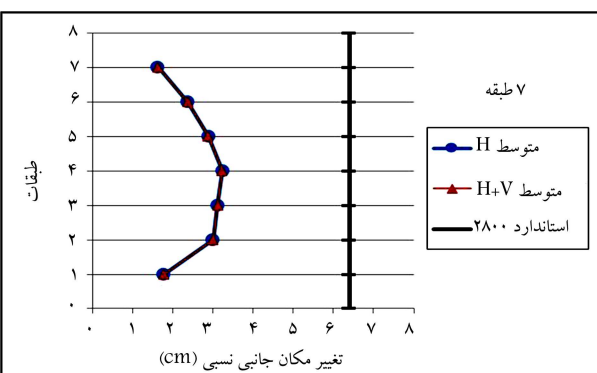
- برای ساختمان‌های با زمان تناوب اصلی کمتر از $7/\sqrt{h}$ ثانیه ($\Delta_M < \sqrt{h}/7$)
 - برای ساختمان‌های با زمان تناوب اصلی بیشتر از $7/\sqrt{h}$ ثانیه ($\Delta_M > \sqrt{h}/7$)
- زمان تناوب اصلی کلیه ساختمان‌ها در پژوهش حاضر، در تحلیل غیرخطی از $7/\sqrt{h}$ ثانیه بیشتر است و با توجه به اینکه ارتفاع طبقات 320 سانتی‌متر است، بنابراین حد بالای تغییر مکان نسبی طبقات برابر با $6/\sqrt{h}$ سانتی‌متر است. شکل‌های ۲۸ الی ۲۰ مقدار متوسط تغییر مکان جانبی نسبی تحت مؤلفه‌ی افقی و مؤلفه‌ی افقی به همراه مؤلفه‌ی قائم ساختمان‌های $۱۶, ۱۳, ۱۰, ۷, ۴, ۱, ۰$ را نشان می‌دهند. تغییر مکان جانبی نسبی در هر دو حالت مؤلفه‌ی افقی و مؤلفه‌ی افقی به همراه مؤلفه‌ی قائم در محدوده‌ی مجاز استاندارد 2800 قرار دارد. همان‌طور که مشاهده می‌شود، مؤلفه‌ی

جدول ۵. تغییر مکان جانبی طبقات ساختمان‌های کوتاه مرتبه، میان مرتبه و بلند مرتبه.

تعداد طبقات	نوارات بین مؤلفه‌ی افقی و مؤلفه‌ی افقی + قائم (%)	
	(cm)	(cm) + قائم (cm)
کوتاه مرتبه ۴ طبقه	$0,3\%$	$0,04\text{ cm}$
میان مرتبه ۷ طبقه	$0,11\%$	$0,02\text{ cm}$
میان مرتبه ۱۰ طبقه	$0,55\%$	$0,12\text{ cm}$
میان مرتبه ۱۳ طبقه	$0,61\%$	$0,16\text{ cm}$
بلند مرتبه ۱۶ طبقه	$0,55\%$	$0,18\text{ cm}$
بلند مرتبه ۲۰ طبقه	$0,57\%$	$0,21\text{ cm}$



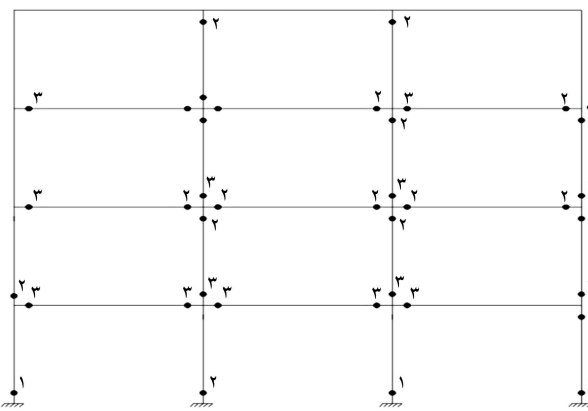
شکل ۲۹. تغییر مکان جانبی نسبی طبقات در مدل ۴ طبقه.



شکل ۳۰. تغییر مکان جانبی نسبی طبقات در مدل ۷ طبقه.

جدول ۶. اثر فاصله‌ی زمانی بیشینه‌ها بر افزایش زمان تناوب افقی سازه (درصد).

سازه‌ی							فاصله‌ی زمانی	نام زلزله
۲۰ طبقه	۱۶ طبقه	۱۳ طبقه	۱۰ طبقه	۷ طبقه	۴ طبقه	(Sec)		
۱۹	۱۶	۱۳	۱۰	۷	۴	۱,۹۹۵	امپریال ولی (۱۹۷۹)	
۴۳	۳۸	۳۳	۲۸	۲۳	۱۸	۰,۹۲۵	غزیل (۱۹۷۶)	
۶۲	۵۶	۵۰	۴۲	۳۴	۲۹	۰,۲۴	کوبه (۱۹۹۵)	
۵۳	۴۷	۴۱	۳۵	۲۹	۲۳	۰,۸۸	لندرز (۱۹۹۲)	
۸۶	۷۷	۶۸	۵۹	۵۰	۴۱	۰,۰۲	کوچلی (۱۹۹۹)	
۶۵	۵۸	۵۱	۴۴	۳۷	۳۰	۰,۲۳	نورث‌ریج (۱۹۹۴)	
۲۹	۲۵	۲۱	۱۷	۱۳	۹	۱,۴۱	لوما پریتا (۱۹۸۹)	



شکل ۲۹. مکان و ترتیب زمانی تشکیل مفاصل خمیری در سازه‌ی ۴ طبقه.

جدول ۷. برش پایه‌ی ساختمان‌های کوتاه‌مرتبه، میان‌مرتبه و بلند‌مرتبه.

تعداد طبقات	مولفه‌ی افقی و مولفه‌ی افقی + قائم (%) (cm)	تفاوت بین مولفه‌ی افقی	
		کوتاه‌مرتبه	میان‌مرتبه
۴ طبقه	۰,۲۸	۰,۶	۲۱۱/۸
۷ طبقه	۰,۱	۰,۳	۲۹۰,۶
۱۰ طبقه	۰,۰۷	۰,۳	۴۰۳,۹
۱۳ طبقه	۰,۰۵	۰,۳	۵۸۳,۷
۱۶ طبقه	۰,۰۴	۰,۳	۷۴۵,۵
۲۰ طبقه	۰,۰۱	۰,۱	۹۸۶,۵

لنگر می‌شوند. شکل ۲۹، مکان و ترتیب زمانی تشکیل مفاصل خمیری در سازه‌ی ۴ طبقه و جدول ۸، تعداد و محدودی تشکیل مفصل خمیری را برای زلزله‌های کوچلی، نورث‌ریج و کوبه در گام آخر برای ساختمان ۱۰ طبقه نشان می‌دهد. در جدول مذکور، ستون A-B تعداد مفاصل را در محدوده‌ی کشسان، ستون B-IO تعداد مفاصل در محدوده‌ی قابلی استفاده‌ی بی‌وقه (رنگ صورتی)، ستون IO-LS تعداد مفاصل در محدوده‌ی ایمنی جانی (رنگ آبی پرنگ)، ستون LS-CP تعداد مفاصل در محدوده‌ی آستانه‌ی فروریزش (رنگ آبی کرم‌رنگ)، و ستون CP-C تعداد مفاصل در محدوده‌ی فراتر از آستانه‌ی فروریزش (رنگ سبز) هستند.

با مقایسه‌ی تعداد مفاصل خمیری بین حالت مؤلفه‌ی افقی و حالت مؤلفه‌ی افقی به همراه مؤلفه‌ی قائم مشاهده می‌شود که برای حالت مؤلفه‌ی افقی ۹ مفصل وارد محدوده‌ی LS (ایمنی جانی) و برای حالت مؤلفه‌ی افقی به همراه مؤلفه‌ی قائم، ۱۳ مفصل وارد محدوده‌ی LS (ایمنی جانی) شده‌اند. مفاصل خمیری برای حالت مؤلفه‌ی افقی و حالت مؤلفه‌ی افقی به همراه مؤلفه‌ی قائم تا محدوده‌ی ایمنی جانی (LS) پیش رفتند. نتایج نشان می‌دهند با کاهش فاصله‌ی زمانی، بیشینه‌ی پاسخ مؤلفه‌ی افقی به همراه مؤلفه‌ی قائم زلزله، تعداد مفاصل خمیری بیشتری شکل گرفته و تغییرات قابل ملاحظه‌ی زمانی، ظرفیت سازه را تحت تأثیر قرار داده است. در شکل‌های ۳۰ و ۳۱، نحوه‌ی تشکیل مفصل در قاب B مدل ۱۰ طبقه به ازاء مؤلفه‌ی افقی و مؤلفه‌ی افقی به همراه مؤلفه‌ی قائم نشان داده شده است.

قائم تأثیر چندانی در تغییر مکان جانبی نسبی طبقات ندارد. همچنین بررسی نتایج تحلیل مقادیر ویژه^۶ و آنالیز مودال مربوط به اثر فاصله‌ی زمانی بیشینه‌ها بر روی زمان‌های تناوب ارتعاش سازه‌ها نشان می‌دهد که با کاهش فاصله‌ی زمانی بیشینه‌ها، افزایش زمان تناوب افقی سازه بیشتر می‌شود (جدول ۶).

بررسی بیشینه‌ی تغییر مکان جانبی نسبی مدل‌های انجام شده به صورت جداگانه نشان می‌دهد که فاصله‌ی زمانی بیشینه‌ها تأثیر چندانی در تغییر مکان جانبی نسبی طبقات ندارد و نمی‌توان در مورد تغییر مکان جانبی نسبی ساختمان‌های کوتاه‌مرتبه، میان‌مرتبه و بلند‌مرتبه اظهارنظر کرد.

۳.۳.۴ برش پایه

در بخش کنونی، به بررسی برشی پایه‌ی ساختمان‌های کوتاه‌مرتبه، میان‌مرتبه و بلند‌مرتبه پرداخته شده است. با توجه به جدول ۷ می‌توان بیان کرد که مؤلفه‌ی قائم تأثیر چندانی در برش پایه در ساختمان‌های موردنظر ندارد. در مواردی که سازه دچار شکست در المان‌های سازه‌ی بیشتر شده است، تأثیر مؤلفه‌ی قائم مقدار قابل توجهی بوده است. با مقایسه‌ی برش پایه‌ی ساختمان‌های کوتاه‌مرتبه، میان‌مرتبه و بلند‌مرتبه می‌توان بیان کرد که تفاوت بین مؤلفه‌ی افقی و مؤلفه‌ی افقی به همراه مؤلفه‌ی قائم نیروی برشی پایه با افزایش تعداد طبقات کاهش می‌یابد. بنابراین تأثیر مؤلفه‌ی قائم در برش پایه‌ی ساختمان‌های کوتاه‌مرتبه بیشتر از ساختمان‌های میان‌مرتبه و بلند‌مرتبه بوده است.

۴.۰.۴ ترتیب و نحوه‌ی شکل‌گیری مفاصل خمیری

مفاصل خمیری اساساً عاملی جهت ایجاد انرژی هستند که انرژی ناشی از زلزله را از طریق دوران خمیری اتصالات صلب بتنی تلف می‌کنند و سبب باز توزیع

جدول ۸. مفاصل خمیری تشکیل شده در زلزله‌های کوچلی، نورثریج و کوبه برای ساختمان ۱۰ طبقه.

زلزله	نوع بارگذاری	A-B	B-IO	IO-LS	LS-CP	CP-C	مجموع
کوچلی (۱۹۹۹)	مولفه‌ی افقی	۴۱۲	۴۳۵	۱۴	۵	۰	۸۶۶
	مولفه‌ی افقی + قائم	۴۰۶	۴۳۲	۲۱	۸	۰	۸۶۷
نورثریج (۱۹۹۴)	مولفه‌ی افقی	۳۸۰	۴۱۳	۹	۰	۰	۸۰۲
	مولفه‌ی افقی + قائم	۳۷۴	۴۱۳	۱۳	۲	۰	۸۰۲
کوبه (۱۹۹۵)	مولفه‌ی افقی	۳۶۸	۳۹۳	۷	۰	۰	۷۶۸
	مولفه‌ی افقی + قائم	۳۶۲	۴۰۲	۱۰	۰	۰	۷۷۴

۵. نتیجه‌گیری

در پژوهش حاضر، ساختمان‌های منظم بتن‌آرمه با تعداد طبقات ۴، ۷، ۱۰، ۱۳، ۱۶ و ۲۰ مدل‌سازی و تحت تحلیل غیرخطی استاتیکی (بارافزون) و دینامیکی تحت ۷ رکورد زلزله با مقادیر متفاوت فاصله‌ی زمانی بیشینه‌ی پاسخ مؤلفه‌ی قائم و افقی فراز گرفتند. هدف اصلی پژوهش حاضر پاسخ به این سوال بود که فاصله‌ی زمانی بیشینه‌ی پاسخ مؤلفه‌ی قائم و افقی زلزله چه تأثیری در ساختمان‌های بتن‌آرمه دارد و در چه اعضايی و به چه نسبتی از مؤلفه‌ی قائم به مؤلفه‌ی افقی تغییرات ایجاد می‌شود. ارزیابی‌ها در ۳ سطح اعضا سازه‌ی، طبقات و کل سازه صورت پذیرفتند است که خلاصه‌ی از مهم‌ترین نتایج حاصل به این قرار است:

۱. نتایج تحلیل بارافزون تحت تأثیر نوع بارگذاری است، به گونه‌یی که منحنی ظرفیت با توزیع بار جانبی یکنواخت سختی اولیه، ظرفیت برشی و تغییر مکان جانبی بیشتری نسبت به منحنی ظرفیت با توزیع بار جانبی مثلی دارد.

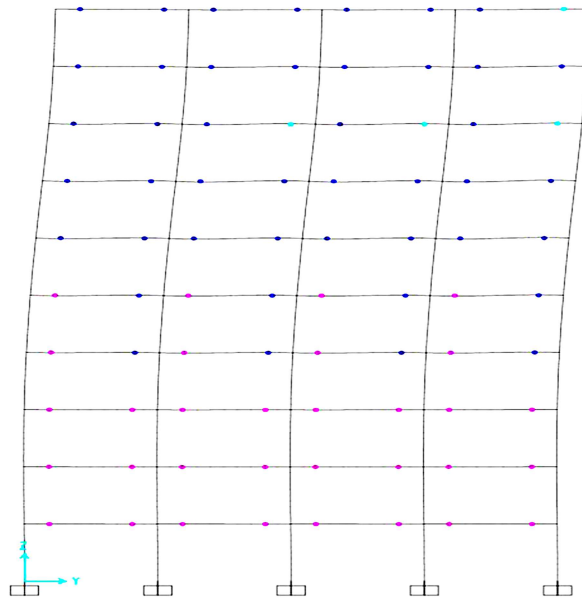
۲. مقادیر نیروهای محوری در ستون‌های داخلی، گوشه و بیرونی نشان دادند که فاصله‌ی زمانی بیشینه‌ی پاسخ مؤلفه‌ی قائم و افقی زلزله باعث افزایش قابل ملاحظه‌ی نیروی محوری ستون‌هایی می‌شود که به مرکز جرم نزدیک تر هستند؛ بنابراین می‌توان بیان کرد که مؤلفه‌ی قائم، بیشترین تأثیر را در ستون‌های داخلی دارد.

۳. با افزایش تعداد طبقات، درصد افزایش نیروی محوری مؤلفه‌های افقی و قائم به مؤلفه‌ی افقی به ازاء اختلاف فاصله‌ی زمانی بین مؤلفه‌ی افقی و قائم زلزله کمتر می‌شود. درنتیجه، تأثیر فاصله‌ی زمانی بیشینه‌ی پاسخ مؤلفه‌ی قائم و افقی زلزله روی ساختمان‌های کوتاه‌مرتبه بیشتر از ساختمان‌های میان‌مرتبه و بلند‌مرتبه است.

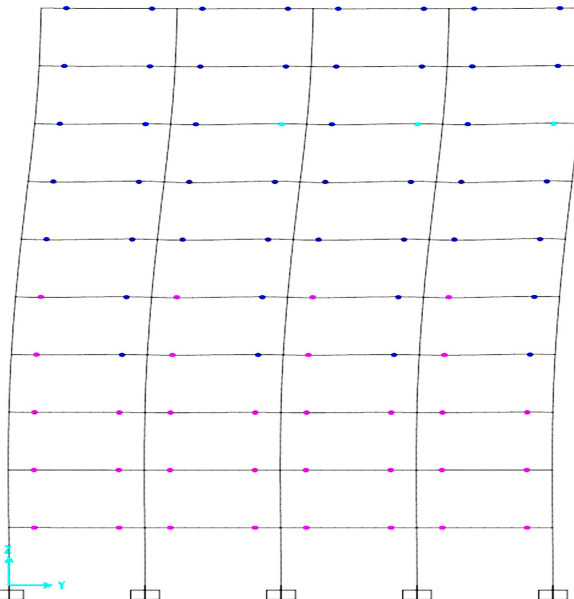
۴. دخلات و نقش مؤلفه‌ی قائم زمین لرده در تغییرات بار محوری با افزایش فاصله‌ی زمانی میل به کاهش دارد. با وجود این، تغییرات کم بوده است و می‌توان نتیجه گرفت که تغییرات بار محوری، بیشتر تحت تأثیر دامنه‌ی حرکت مؤلفه‌ی قائم بوده است تا فاصله‌ی زمانی بیشینه‌ها.

۵. فاصله‌ی زمانی بیشینه‌ها در تغییر مکان جانبی کلی و نسبی سازه‌ها تأثیر محسوسی نداشته است، اما اثر آن در نیروی برش پایه محسوس بوده است، به گونه‌یی که ساختمان‌های کوتاه‌مرتبه بیشتر از ساختمان‌های میان‌مرتبه و بلند‌مرتبه تحت تأثیر قرار می‌گیرند.

۶. در تمام مدل‌ها، مفاصل تا محدوده‌ی آستانه‌ی فروریش پیش رفته و با کاهش فاصله‌ی زمانی بیشینه‌ی پاسخ مؤلفه‌ی قائم و افقی زلزله، تعداد مفاصل خمیری بیشتری شکل‌گرفت و تغییرات قابل ملاحظه‌ی فاصله‌ی زمانی، ظرفیت سازه را تحت تأثیر قرار داد.



شکل ۳۰. نحوه‌ی تشکیل مفصل در قاب B مدل ۱۰ طبقه به ازاء مؤلفه‌ی افقی.



شکل ۳۱. نحوه‌ی تشکیل مفصل در قاب B مدل ۱۰ طبقه به ازاء مؤلفه‌ی افقی + قائم.

پانوشت‌ها

1. Parkfield
2. Pacoima, San Fernando
3. displacement-controlled
4. lumped plasticity model
5. fiber discretization
6. eigenvalue analysis

منابع (References)

1. Bolt, B.A., *Earthquakes*, 5th Edition, W.H. Freeman Press, New York, US (2003).
2. Dreger, D., Hurtado, G., Chopra, A.K. and Larsen, S. "Near fault seismic ground motions", Report NO. EERC 2007-03, Earthquake Engineering Research Center, University of California, Berkeley (2007).
3. Aagaard, B.T. and Heaton, T. "Near-source ground motions from simulations of sustained interseismic and supersonic fault ruptures", *Bulletin of Seismological Society of America*, **94**(6), pp. 2064-2078 (2004).
4. Kalkan, E. and Chopra, A.K. "Practical guidelines to select and scale earthquake records for nonlinear response history analysis of structures", U.S. Geological Survey Report, 113 p. (2010).
5. Kim, S.J., Holub, C.J. and Elnashai, A.S. "Experimental investigation of the behavior of RC bridge piers subjected to horizontal and vertical earthquake motion", *Engineering Structures*, **33**(7), pp. 2221-2235 (2011).
6. Trifunac, M.D. "The role of strong motion rotations in the response of structures near earthquake faults", *Soil Dynamics and Earthquake Engineering*, **29**(2), pp. 382-393 (2009).
7. Arias A.A., *Measure of Earthquake Intensity*, In: Hansen R.J. Editor, Seismic Design for Nuclear Power Plants, Cambridge, MA: MIT Press; pp. 438-483 (1970).
8. Sadeghvaziri, M.A. and Foutch, D.A. "Dynamic behavior of RC highway bridges under combined effect of vertical and horizontal motions", *Earthquake Engineering and Structural Dynamics*, **20**(6), pp. 535-549 (1991).
9. Hassankhani, A. "Investigation of the effect of earthquake vertical component on bridge", M.Sc. Thesis in Structural Engineering, Sharif Technical University (1996).
10. Bozorgnia, Y., Mahin, S.A. and Brady, G. "Vertical response of twelve structures recorded during the Northridge earthquake", *Earthquake Spectra*, **14**(3), pp. 411-432 (1998).
11. Bozorgnia, Y., Niazi, M. and Campbell, K.W. "Characteristics of free-field vertical ground motion during the Northridge earthquake", *Earthquake Spectra*, **11**(4), pp. 515-525 (1995).
12. Kikuchi, M., Dan, M. and Yashiro, K.W. "Seismic behavior of a reinforced concrete building due to large vertical ground motion in near-source regions", *12th World Conference on Earthquake Engineering*, Auckland, New Zealand, No. 1876 (2000).
13. Shakib, H. and Fuladgar, A. "Effect of vertical component of earthquake on the response of pure-friction base-isolated asymmetric buildings", *Engineering Structures*, **25**(14), pp. 1841-1850 (2003).
14. Shakib, H. and Fuladgar, A. "Response of pure-friction sliding structures to three components of earthquake excitation", *Computers and Structures*, **81**(4), pp. 189-196 (2003).
15. Ju, S., Liu, C. and Wu, K. "3D analyses of buildings under vertical component of earthquakes", *Journal of Structural Engineering*, **126**(10), pp. 1196-1202 (2000).
16. Ghofrani, H. and Atkinson, G.M. "Site condition evaluation using horizontal-to-vertical response spectral ratios of earthquakes in the NGA-West 2 and Japanese databases", *Soil Dynamics and Earthquake Engineering*, **67**, pp. 30-43 (2014).
17. Moschen, L., Medina, R.A. and Adam, C. "Vertical acceleration demands on column lines of steel moment-resisting frames", *Earthquake Engineering & Structural Dynamics*, **45**(12), pp. 2030-2060 (2016).
18. Di Sarno, L., Elnashai, A.S. and Manfredi, G. "Assessment of RC columns subjected to horizontal and vertical ground motions recorded during the 2009 L'Aquila (Italy) earthquake", *Engineering Structures*, **33**(5), pp. 1514-1535 (2011).
19. Kim, S., Holub, C. and Elnashai, A. "Analytical assessment of the effect of vertical earthquake motion on RC bridge piers", *Journal of Structural Engineering*, **137**(2), pp. 252-260 (2011).
20. *Iranian Code of Practice for Seismic Resistant Design of Buildings (Standard NO. 2800)*, Permanent Committee for Revising the Iranian Code of Practice for Seismic Resistant Design of Buildings, Building & Housing Research Center (2007).
21. *Iranian Code of Practice for Seismic Resistant Design of Buildings*, Chapter 6., Building and Housing Research Centre, Tehran, Iran (2013).
22. Seismosignal (<http://www.seismosoft.com/en/SeismoSignal.aspx>) (2016).
23. Pavel, F. and Lungu, D. "Correlations between frequency content indicators of strong ground motions and PGV", *Journal of Earthquake Engineering*, **17**(4), pp. 543-559 (2013).
24. American Society of Civil Engineers (ASCE)., *FEMA-356: Prestandard and Commentary For the Seismic Rehabilitation of Buildings*, Washington, DC, 490 p. (2000).

25. Kheyroddin, A. and Mortezaei, A. "The effect of element size and plastic hinge characteristics on nonlinear analysis of RC frames", *Iranian Journal of Science & Technology, Transaction B, Engineering*, **32**(B5), pp. 451-470 (2008).
26. Kostic, S.M. and Filippou, F.C. "Section discretization of fiber beam-column elements for cyclic inelastic response", *Journal of Structural Engineering*, **138**(5), pp. 592-601 (2012).
27. Mander, J.B., Priestley, M.J.N. and Park, R. "Theoretical stress-strain model for confined concrete", *Journal of Structural Engineering*, **114**(8), pp. 1805-1826 (1988).
28. OpenSees [Computer Software], Berkeley, CA, University of California, Opensees Berkeley.edu (2014).